

Міністерство освіти та науки України  
Київський національний університет імені Тараса Шевченка  
Факультет комп'ютерних наук та кібернетики  
Кафедра обчислювальної математики

Звіт до лабораторної роботи №2 на тему:  
“Модель Лотки—Вольтерра.  
Внутрішньо-видова конкуренція”

Виконав студент групи ОМ-3  
Скибицький Нікіта

Київ, 2019

# Зміст

<b>1</b>	<b>Модель Лотки—Вольтерра</b>	<b>2</b>
1.1	Теоретичні відомості . . . . .	2
1.2	Чисельне моделювання . . . . .	2
1.2.1	Код для фазового портрету . . . . .	3
1.2.2	Фазовий портрет . . . . .	4
1.2.3	Код для 2D і 3D графіків розв’язків . . . . .	4
1.2.4	Розв’язок у 2D . . . . .	7
1.2.5	Розв’язок у 3D . . . . .	8
<b>2</b>	<b>Внутрішньо-видова конкуренція</b>	<b>8</b>
2.1	Теоретичні відомості . . . . .	8
2.2	Чисельне моделювання . . . . .	9
2.2.1	Код для фазового портрету . . . . .	9
2.2.2	Фазовий портрет . . . . .	9
2.2.3	Код для 2D і 3D графіків розв’язків . . . . .	9
2.2.4	Розв’язок у 2D . . . . .	10
2.2.5	Розв’язок у 3D . . . . .	11

## 1 Модель Лотки—Вольтерра

### 1.1 Теоретичні відомості

Пригадаємо, що модель Лотки—Вольтерра описується наступною системою диференціальних рівнянь:

$$\begin{cases} \dot{x} = x \cdot (a - b \cdot y), \\ \dot{y} = y \cdot (d \cdot x - c), \end{cases} \quad (1)$$

де  $a$  — коефіцієнт розмноження жертв за відсутності хижаків,  $c$  — коефіцієнт природної загибелі хижаків,  $b$  — інтенсивність зменшення жертв при взаємодії двох популяцій,  $d$  — інтенсивність нарощування біомаси хижаків при цьому.

Поклавши  $\dot{x} = \dot{y} = 0$  знаходимо дві стаціонарні точки:

- тривіальне сідло  $(x, y) = (0, 0)$ ;
- нетривіальний центр  $(x, y) = \left(\frac{c}{d}, \frac{a}{b}\right)$ .

Також відомо, що загальний інтеграл системи має вигляд

$$V = d \cdot x - c \cdot \ln x + b \cdot y - a \cdot \ln y, \quad (2)$$

де  $V$  — певна константа, яка визначається початковими умовами.

### 1.2 Чисельне моделювання

Було використано мову програмування Python і модуль `matplotlib.pyplot`.

### 1.2.1 Код для фазового портрета

```
#!/usr/bin/env python
import numpy as np
import matplotlib.pyplot as plt

a, b, c, d = 10, 25, 20, 30

def dxdt(x: float, y: float) -> float:
    return x * (a - b * y)

def dydt(x: float, y: float) -> float:
    return y * (d * x - c)

delta = .1

s = 50

x_s, y_s = c / d, a / b

for x_l, x_r, y_l, y_r in [(0.01, 1, 0.01, 1),
    (x_s - delta, x_s + delta, y_s - delta, y_s + delta)]:
    x_space, y_space = np.meshgrid(np.arange(x_l, x_r, (x_r - x_l) / s),
        np.arange(y_l, y_r, (y_r - y_l) / s))

    u = np.array([[dxdt(x_space[i, j], y_space[i, j]) \
        for j in range(x_space.shape[1])] for i in range(x_space.shape[0])])

    v = np.array([[dydt(x_space[i, j], y_space[i, j]) \
        for j in range(x_space.shape[1])] for i in range(x_space.shape[0])])

    plt.figure(figsize=(20,20))

    plt.title(f'Phase portrait on $[{x_l:.2f}, {x_r:.2f}]$ '
        f'$\times [{y_l:.2f}, {y_r:.2f}]$', fontsize=20)

    plt.xlabel('$x$', fontsize=16)
    plt.ylabel('$y$', fontsize=16)

    plt.quiver(x_space, y_space, u, v, np.hypot(u, v))

    plt.scatter(x_s, y_s, s=100, c='k', label=f'Stationary point:\n'
        f'$x = {x_s:.2f}, y = {y_s:.2f}$')

    plt.legend()

    plt.savefig(f'../tex/phase_{x_l:.2f}_{x_r:.2f}_{y_l:.2f}_{y_r:.2f}_{s}.png')
```

## 1.2.2 Фазовий портрет

Рис. 1: На квадраті  $[0, 1] \times [0, 1]$

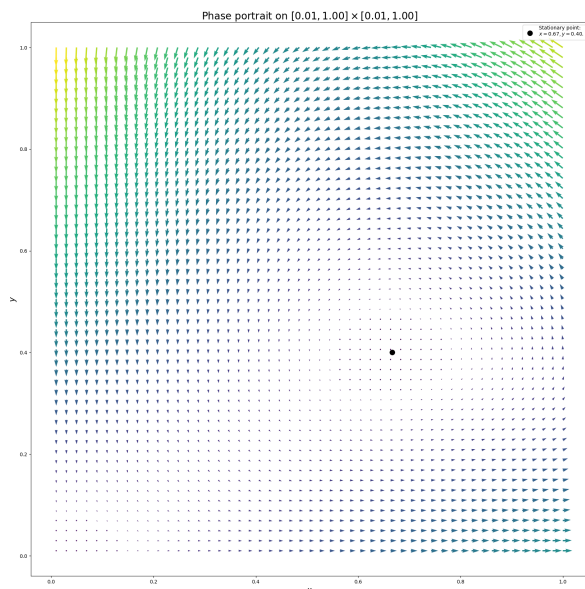
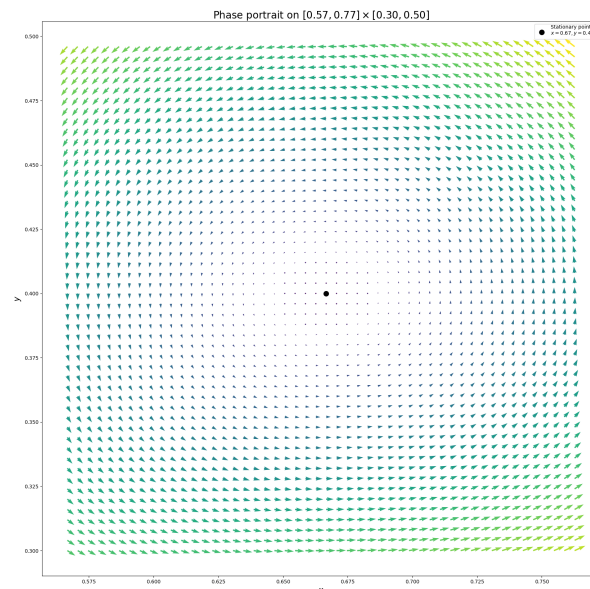


Рис. 2: В околі стаціонарної точки



Якщо погано видно, то можна розтягнути на весь екран, вихідні зображення гарної якості.

Як бачимо, отримані результати відповідають теоретичним очікуванням.

## 1.2.3 Код для 2D і 3D графіків розв'язків

Лістинг коду програми для побудови 2D і 3D графіків розв'язків:

```
#!/usr/bin/env python
import numpy as np
import matplotlib.pyplot as plt
from mpl_toolkits.mplot3d import Axes3D
from typing import Tuple

a, b, c, d = 10, 25, 20, 30

def dxdt(x: float, y: float) -> float:
    return x * (a - b * y)

def dydt(x: float, y: float) -> float:
    return y * (d * x - c)

def f(x: float, y: float) -> Tuple[float, float]:
    return dxdt(x, y), dydt(x, y)
```

```

x_s, y_s = c / d, a / b

h = 0.01

t = np.arange(0, 3 + h, h)

def k1(x: float, y: float) -> Tuple[float, float]:
    return f(x, y)

def k2(x: float, y: float) -> Tuple[float, float]:
    k1x, k1y = k1(x, y)
    return f(x + (h / 2) * k1x, y + (h / 2) * k1y)

def k3(x: float, y: float) -> Tuple[float, float]:
    k2x, k2y = k2(x, y)
    return f(x + (h / 2) * k2x, y + (h / 2) * k2y)

def k4(x: float, y: float) -> Tuple[float, float]:
    k3x, k3y = k3(x, y)
    return f(x + h * k3x, y + h * k3y)

def rk(x: float, y: float) -> Tuple[float, float]:
    k1x, k1y = k1(x, y)
    k2x, k2y = k2(x, y)
    k3x, k3y = k3(x, y)
    k4x, k4y = k4(x, y)
    return x + (h / 6) * (k1x + 2 * k2x + 2 * k3x + k4x), \
        y + (h / 6) * (k1y + 2 * k2y + 2 * k3y + k4y)

def plot_2d(x0: float, y0: float) -> None:
    x, y = [x0], [y0]

    for _ in range(len(t) - 1):
        _x, _y = rk(x[-1], y[-1])
        x.append(_x)
        y.append(_y)

    plt.figure(figsize=(20,10))

    plt.plot(t, x, 'b-', label=f'$x(t)$, x(0) = {x0:.2f}$')
    plt.plot(t, y, 'r-', label=f'$y(t)$, y(0) = {y0:.2f}$')

    plt.title(f'Solution plots with Runge-Kutta on $[{t[0]}, {t[-1]}]$\n')

```

```

        f'$x(0) = {x0:.2f}, y(0) = {y0:.2f}$', fontsize=20)

plt.xlabel('$t$', fontsize=16)
plt.ylabel('$x, y$', fontsize=16)

plt.ylim(0, 1.25)

plt.legend()

plt.savefig(f'../tex/plot_2d_{x0:.2f}_{y0:.2f}.png')

def plot_3d(x0: float, y0: float) -> None:
    x, y = [x0], [y0]

    for _ in range(len(t) - 1):
        _x, _y = rk(x[-1], y[-1])
        x.append(_x)
        y.append(_y)

    fig = plt.figure(figsize=(10,10))

    ax = fig.gca(projection='3d')

    ax.plot(x, y, t, 'g-', label=f'$x(0) = {x0:.2f}, y(0) = {y0:.2f}$')

    ax.plot([x_s for _ in t], [y_s for _ in t], t, 'k--',
            label=f'$x(0) = {x_s:.2f}, y(0) = {y_s:.2f}$')

    ax.set_xlim3d(0, 1.25)
    ax.set_ylim3d(0, 1.25)

    plt.title(f'Solution plot with Runge-Kutta on $[t[0], t[-1]]$\\n'
            f'$x(0) = {x0:.2f}, y(0) = {y0:.2f}$', fontsize=20)

    ax.set_xlabel('$x(t)$', fontsize=16)
    ax.set_ylabel('$y(t)$', fontsize=16)
    ax.set_zlabel('$t$', fontsize=16)

    plt.savefig(f'../tex/plot_3d_{x0:.2f}_{y0:.2f}.png')

for x, y in [(.8, .2), (.5, .5), (.4, .6)]:
    plot_2d(x, y)
    plot_3d(x, y)

```

### 1.2.4 Розв'язок у 2D

Рис. 3:  $x(0) < y(0)$

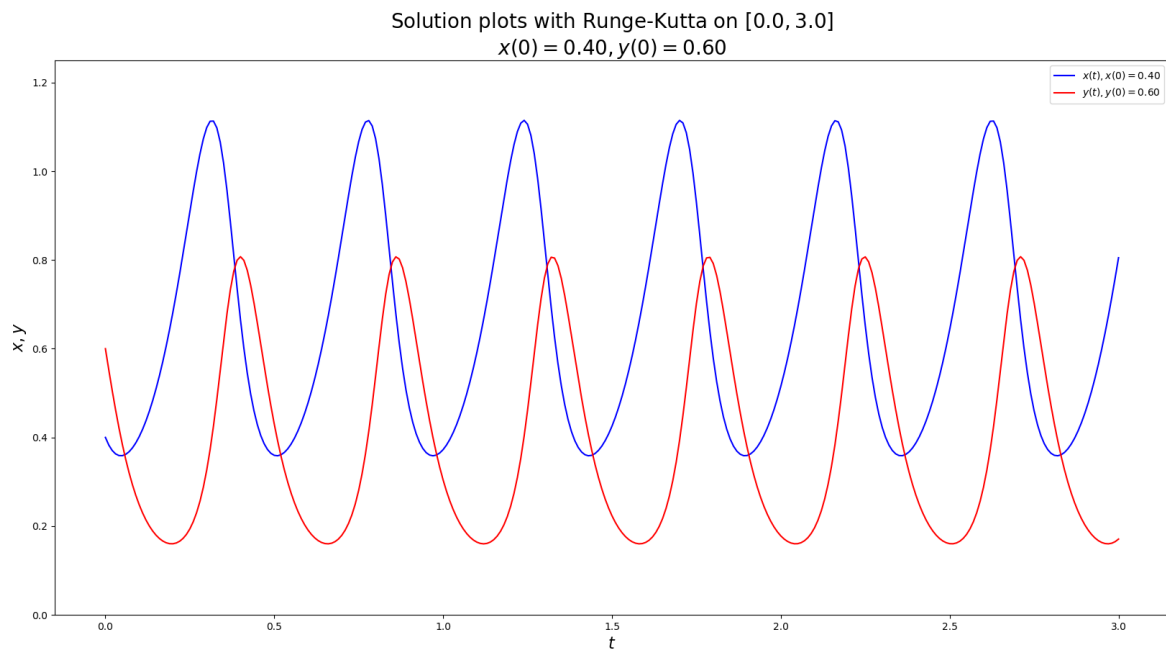
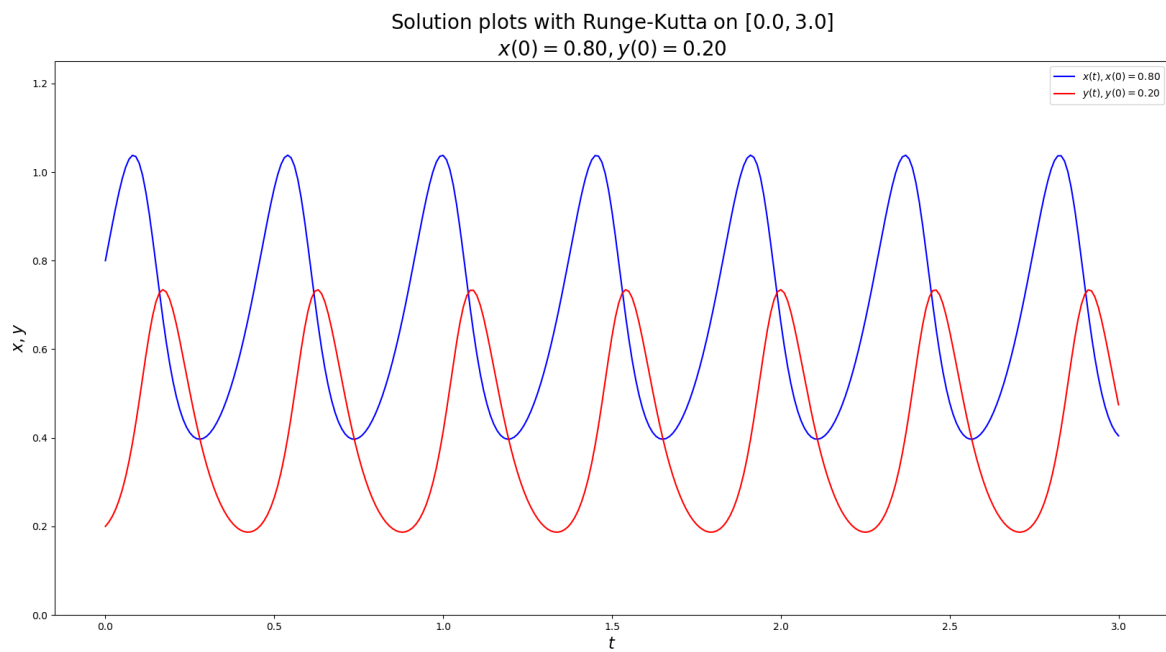


Рис. 4:  $x(0) > y(0)$



Як бачимо, отримані результати відповідають теоретичним очікуванням.

### 1.2.5 Розв'язок у 3D

Рис. 5:  $x(0) < y(0)$

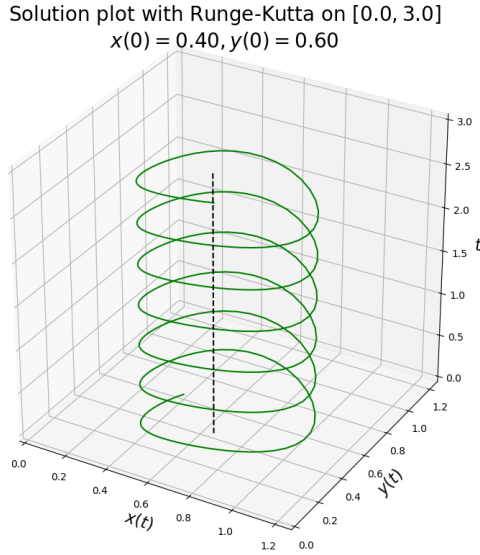
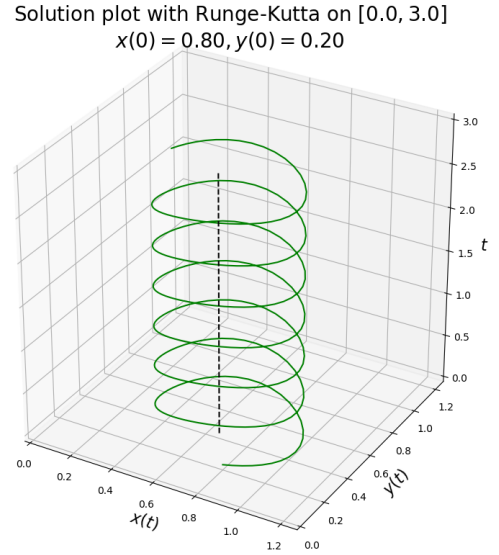


Рис. 6:  $x(0) > y(0)$



Як бачимо, отримані результати відповідають теоретичним очікуванням.

## 2 Внутрішньо-видова конкуренція

### 2.1 Теоретичні відомості

Пригадаємо, що модель Лотки—Вольтерра яка враховує внутрішньо-видову конкуренцію описується наступною системою диференціальних рівнянь:

$$\begin{cases} \dot{x} = x \cdot (a - b \cdot y - e \cdot x), \\ \dot{y} = y \cdot (d \cdot x - c), \end{cases} \quad (3)$$

де  $a$  — коефіцієнт розмноження жертв за відсутності хижаків,  $c$  — коефіцієнт природної загибелі хижаків,  $b$  — інтенсивність зменшення жертв при взаємодії двох популяцій,  $d$  — інтенсивність нарощування біомаси хижаків при цьому, і, нарешті,  $e$  — коефіцієнт внутрішньо-видової взаємодії серед жертв.

Поклавши  $\dot{x} = \dot{y} = 0$  знаходимо три стаціонарні точки:

- тривіальне сідло  $(x, y) = (0, 0)$ ;
- напів-тривіальний стік (eng. *sink*)  $(x, y) = (\frac{a}{e}, 0)$ ;
- нетривіальний спіральний стік  $(x, y) = (\frac{c}{d}, \frac{a \cdot d - c \cdot e}{b \cdot d})$ .



## 2.2 Чисельне моделювання

Було використано мову програмування Python і модуль `matplotlib.pyplot`.

### 2.2.1 Код для фазового портрету

Ми не наводимо лістинг коду програми для побудови фазового портрету, оскільки у коді нічого окрім визначення функцій-похідних, визначення стаціонарної точки, і назв файлів у які зберігаються графіки не змінилося.

### 2.2.2 Фазовий портрет

Рис. 7: На квадраті  $[0, 1] \times [0, 1]$

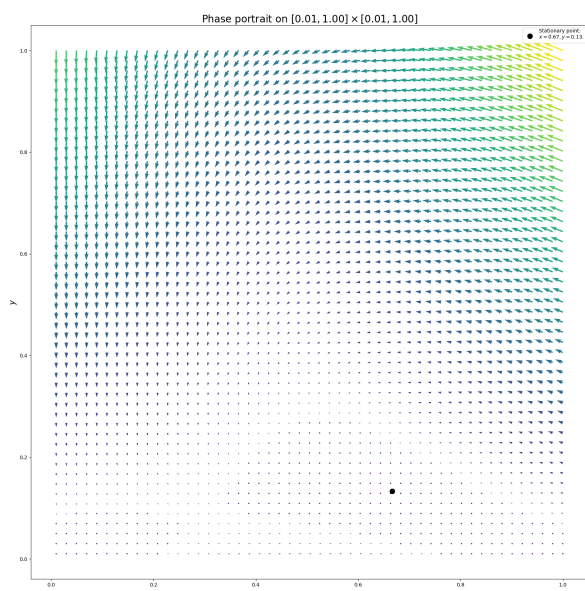
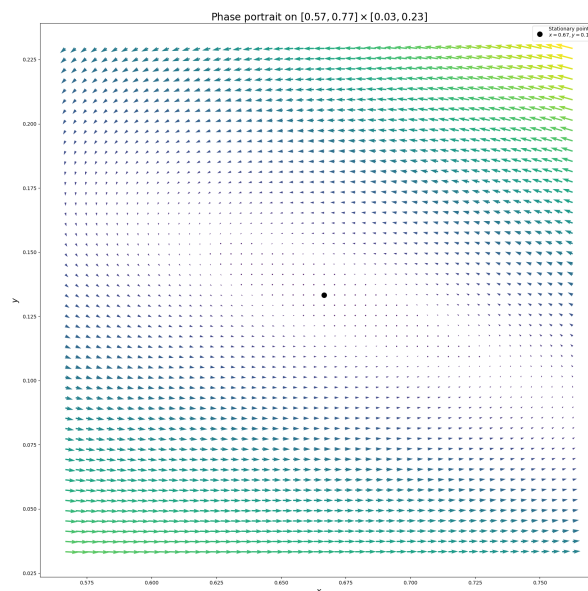


Рис. 8: В околі стаціонарної точки



*Якщо погано видно, то можна розтягнути на весь екран, вихідні зображення гарної якості.*

Як бачимо, отримані результати відповідають теоретичним очікуванням.

### 2.2.3 Код для 2D і 3D графіків розв'язків

Ми не наводимо лістинг коду програми для побудови 2D і 3D графіків, оскільки у коді нічого окрім визначення функцій-похідних, визначення стаціонарної точки, і назв файлів у які зберігаються графіки не змінилося.

Зауважимо, що для чисельного інтегрування системи диференціальних рівнянь було використано класичний метод Рунге-Кутти четвертого порядку, адже загальний інтеграл цієї системи невідомий (принаймні мені).

## 2.2.4 Розв'язок у 2D

Рис. 9:  $x(0) < y(0)$

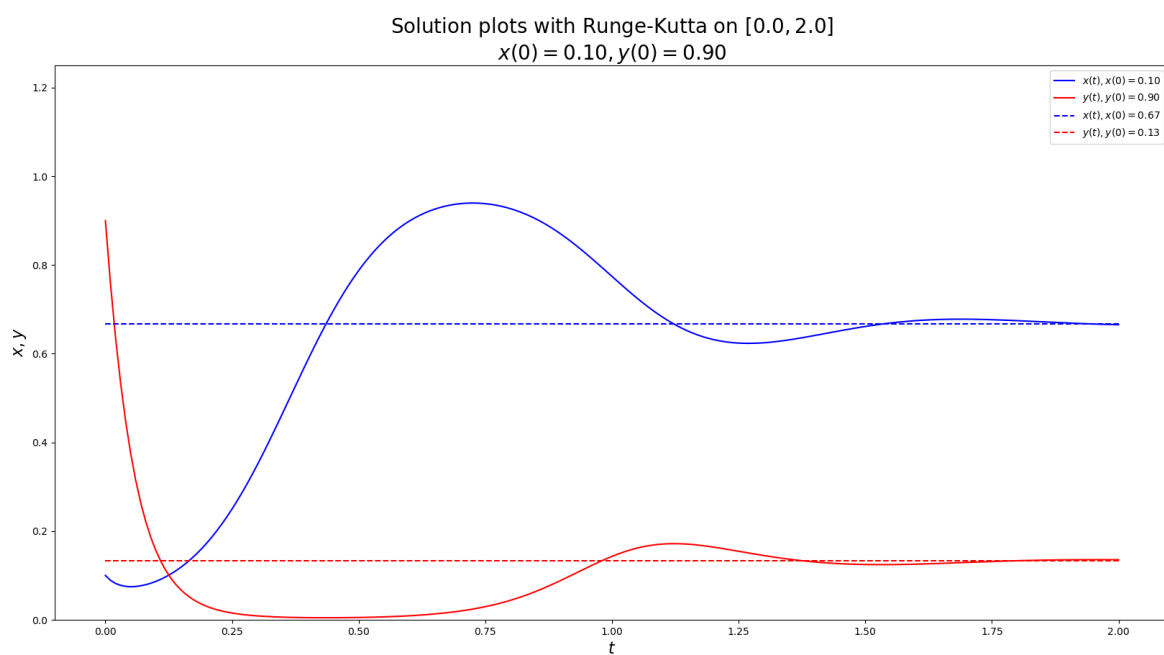
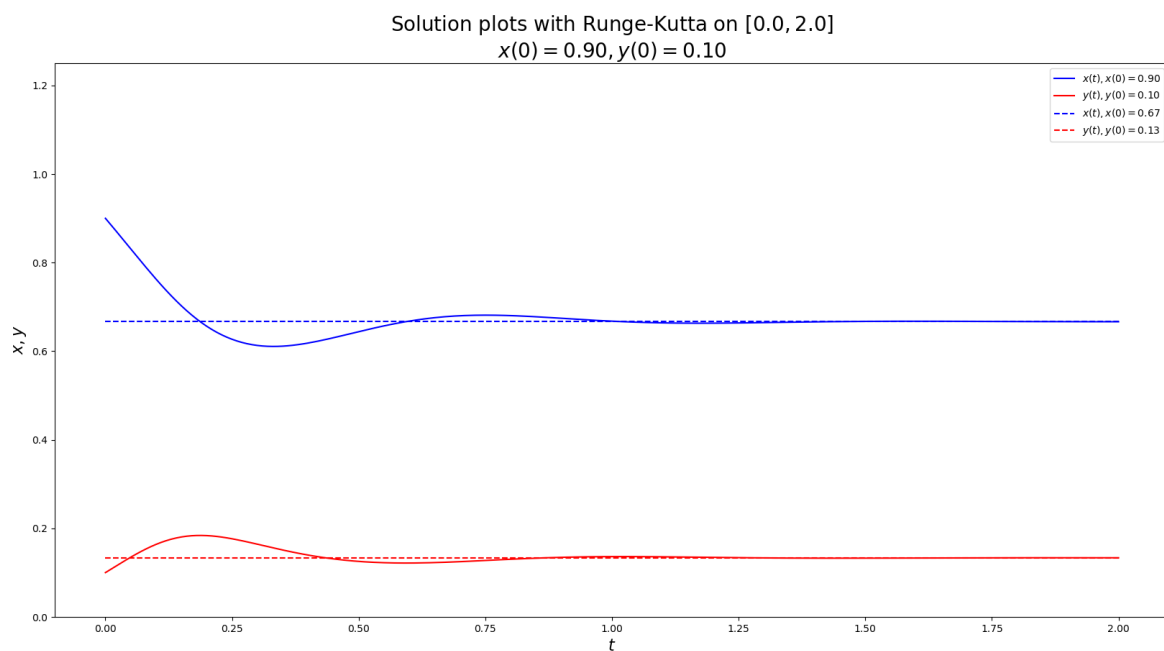


Рис. 10:  $x(0) > y(0)$



Як бачимо, отримані результати відповідають теоретичним очікуванням.

## 2.2.5 Розв'язок у 3D

Рис. 11:  $x(0) < y(0)$

Solution plot with Runge-Kutta on  $[0.0, 2.0]$   
 $x(0) = 0.10, y(0) = 0.90$

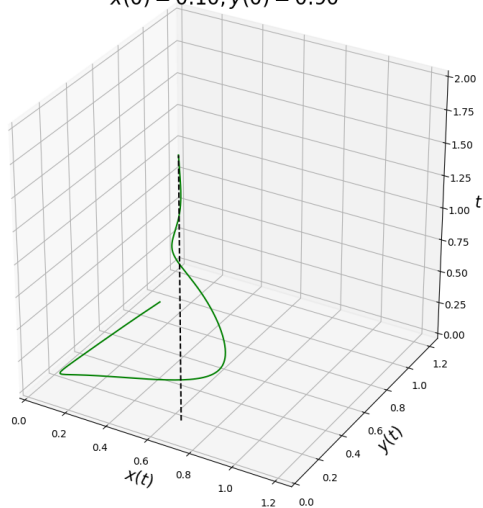
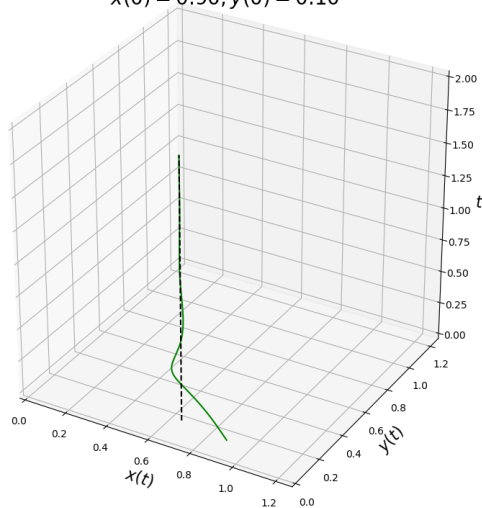


Рис. 12:  $x(0) > y(0)$

Solution plot with Runge-Kutta on  $[0.0, 2.0]$   
 $x(0) = 0.90, y(0) = 0.10$



Як бачимо, отримані результати відповідають теоретичним очікуванням.